



Servicio
Meteorológico
Nacional

BOLETIN 1 - TEMPORADA DEL AGUJERO DE OZONO 2019

Gerardo Carbajal Benítez

Dirección Nacional de Ciencia e Innovación en Productos y Servicios.

Dirección del Servicio Meteorológico Nacional

Agosto 2019



Ministerio de Defensa
Presidencia de la Nación

Información sobre Copyright

Este reporte ha sido producido por empleados del Servicio Meteorológico Nacional con el fin de documentar sus actividades de investigación y desarrollo. El presente trabajo ha tenido cierto nivel de revisión por otros miembros de la institución, pero ninguno de los resultados o juicios expresados aquí presuponen un aval implícito o explícito del Servicio Meteorológico Nacional.

La información aquí presentada puede ser reproducida a condición que la fuente sea adecuadamente citada.

INDICE

ANTECEDENTES	4
1. Introducción.	5
2. CONDICIONES METEOROLOGICAS PREVALECIENTES	5
2.1 Temperaturas.	6
2.2 Área y volumen del NEP	7
2.3 Estabilidad del vórtice.	8
3. OBSERVACIONES DE OZONO	9
3.1 Observaciones Satelitales.	9
3.2 Estaciones en superficie.	12
3.2.1 Estación VAG USHUAIA.	12
3.2.2 Estación Antártica MARAMBIO.	13
4. ACTIVACION QUIMICA DEL VÓRTICE	14
4.1 Resultados de Modelo.	14
5. EL AGUJERO DE OZONO	16
5.1 El área del agujero de ozono.	16
5.2 Déficit de masa de ozono.	17
6. Conclusión	17
7. Bibliografía	18

ANTECEDENTES

La estratósfera sobre la región Antártica sufre el deterioro de la capa de ozono año tras año, es decir, hay una disminución de la columna total de ozono en la estratósfera por debajo del umbral de los 220 Unidades Dobson (UD), formándose el conocido Agujero de ozono. Estos episodios se presentan inicialmente a finales de agosto y/o inicios de septiembre, finalizando en los últimos días de octubre y en algunos años, suele extenderse hasta la segunda semana de noviembre. Este fenómeno se le atribuye a las especies químicas que no se encuentran en la naturaleza y son totalmente de origen antropogénico, como compuestos de cloro (Cl_2) y bromo (Br_2), junto con factores meteorológicos que permiten la estabilidad y fortalecimiento del vórtice polar, durante el verano y otoño.

Debido a la variabilidad meteorológica, existen grandes variaciones interanuales en las fechas de inicio y finalización del agujero de ozono antártico, así como en el tamaño del área impactada y en la intensidad del agotamiento del ozono. Es importante separar esta variabilidad interanual de las tendencias a más largo plazo. Por lo tanto, monitorear el agujero de ozono antártico es una tarea importante para el programa Global Atmosphere Watch (GAW) de la Organización Meteorológica Mundial (OMM).

Se espera que los agujeros de ozono antárticos sean recurrentes año tras año, mientras la estratosfera contenga excesos de sustancias destructoras de ozono (en inglés, OCD's). Como se indica en el Resumen Ejecutivo de la edición 2018 de la Evaluación Científica de la OMM / PNUMA sobre el agotamiento del ozono, se espera que, debido acciones tomadas dentro del Protocolo de Montreal, conduzcan a una disminución de los OCD's y por lo tanto una recuperación gradual de la capa de ozono, que ya desde la evaluación del 2014, se observa una declinación de dichos OCD's (Cl_2 y Br_2). Fuera de las regiones polares, el ozono en la estratósfera superior ha aumentado entre 1 y 3%, por década desde el año 2000. No se ha detectado ninguna tendencia significativa en la columna total de ozono global ($60^\circ \text{S} - 60^\circ \text{N}$) durante el período 1997–2016 con valores promedio. En los años transcurridos desde la última evaluación, permanecen aproximadamente un 2% por debajo del promedio de 1964-1980.

Los cambios en la capa de ozono durante la segunda mitad de este siglo, serán complejos, con aumentos y disminuciones proyectados en diferentes regiones. Se espera que la media de la columna total de ozono en el hemisferio norte, durante la década del 2030, regrese a los valores de 1980, y el ozono de latitudes medias del hemisferio sur, regrese a mediados de siglo (2050). Se espera que el agujero de ozono antártico se vaya cerrando gradualmente en la década del 2060, y que la columna total de ozono en primavera, vuelva a los valores de 1980.

Evaluaciones anteriores, a través de modelos, han mostrado proyecciones de disminución de ODC's y como resultado, el ozono global aumenta. También, los modelos han demostrado que el aumento de las concentraciones de dióxido de carbono (CO_2) y metano (CH_4) considerados los principales gases de efecto Invernadero (GEI's) durante este siglo, hará que los niveles globales de ozono aumenten, más allá del nivel natural de ozono observado en la década de 1960, debido a que estos GEI's, atrapan parte de la radiación solar reflejada y emitida por la superficie, para calentar la troposfera baja (calentamiento global), por lo que poca radiación alcanza la estratosfera superior y esta a su vez se enfría, resultando en un cambio de la circulación estratosférica. Por otro lado, el efecto químico del aumento de las concentraciones de óxido nitroso (N_2O), otro GEI, será agotar el ozono estratosférico.

El presente boletín tiene como objetivo iniciar el monitoreo del agujero de ozono en la temporada 2019, desde su inicio hasta su finalización, con la finalidad de contribuir al entendimiento y comprensión de dicho fenómeno, así como de informar sobre sus impactos a todas aquellas personas que estén interesadas en conocer la evolución e impacto del agujero de ozono.

1. INTRODUCCIÓN

Las condiciones meteorológicas en la estratósfera antártica encontradas durante el invierno austral (junio-agosto) sientan el escenario para el agujero de ozono que ocurre año con año en la Antártida. Las bajas temperaturas llevan a la formación de nubes en la estratósfera (NEPs).

La cantidad de vapor de agua en la estratósfera es muy baja, solamente 5 de entre un millón de moléculas de aire son moléculas de agua, lo cual significa que bajo condiciones normales, no existen nubes en la estratósfera. Sin embargo, cuando la temperatura cae abruptamente por debajo de los -78°C (194.6°K), empiezan a formarse nubes en la estratosfera, que consisten en una mezcla de agua y ácido nítrico (HNO_3). Estas últimas son llamadas NEPs del tipo I. Donde, en la superficie de partículas de la nube, tienen lugar reacciones químicas que transforman compuestos halógenos pasivos e inoocuos (por ej. HCl y HBr) en las denominadas especies activas de cloro y bromo (por ej. ClO y BrO). Estas formas activas de cloro y bromo provocan una rápida pérdida de ozono al inicio de la primavera, con los primeros rayos del sol, a través de ciclos catalíticos, en los que una molécula de ClO puede destruir miles de moléculas de ozono antes de ser inhibidas, mediante la reacción con dióxido de nitrógeno. (NO_2).

Cuando las temperaturas disminuyen abruptamente por debajo de los -85°C (187.8°K), se formarán nubes que consisten en hielo de agua pura. Estas últimas son denominadas NEPs del tipo II. Las partículas en ambos tipos de nubes pueden crecer tanto que ya no flotan en el aire y precipitan fuera de la estratósfera. En este proceso traen consigo ácido nítrico (HNO_3). El ácido nítrico es considerado un reservorio que libera NO_2 bajo condiciones de iluminación solar. Si el NO_2 es removido físicamente de la estratósfera (proceso denominado desnitrificación), el cloro y bromo activos pueden destruir muchas más moléculas de ozono antes de ser inhibidos. La formación de nubes de hielo llevará a una pérdida más severa de ozono, que la que causa el NEP de tipo I, puesto que las especies halógenas son mejor activadas, cuando se encuentran en las superficies de partículas de hielo de mayor tamaño.

El Vórtice polar, es un sistema de baja presión, donde los fuertes vientos (Jet Polar) en la estratosfera circundan el continente antártico, dentro del Jet Polar, es caracterizado por temperaturas muy bajas y gran pérdida de ozono que supera a cualquier parte del mundo. A inicios del mes de agosto, la información sobre parámetros meteorológicos y mediciones de estaciones terrestres, ozonosondeos, información de satélites y otros componentes como modelos para pronóstico, pueden proporcionar una idea del desarrollo del vórtice polar y, por lo tanto, dan información acerca de cómo será la evolución del agujero de ozono durante la temporada. Las bajas temperaturas conducen a la formación de las llamadas nubes estratosféricas polares (PSC).

Para mayor información sobre el agujero de ozono antártico y la pérdida de ozono en general, se solicita a los lectores que se contacten con la página web de ozono de la OMM: <http://www.wmo.int/pages/prog/arep/gaw/ozone/index.html>.

2. CONDICIONES METEOROLÓGICAS PREVALECIENTES.

Los datos meteorológicos utilizados en este Boletín provienen de la Oficina de Asimilación y Modelo Global de la NASA <http://macc.aeronomie.be/index.php> y del Centro Europeo para Pronósticos del Tiempo de Medio Alcance (ECMWF). Los reanálisis provenientes del GMAO, los así denominados datos MERRA, han sido bajados del sitio web de Vigilancia

del Ozono de la NASA (<http://ozonewatch.gsfc.nasa.gov/>) Los datos del ECMWF han sido extraídos y bajados del Instituto Noruego para Investigación del Aire (NILU) que ponen es-tos datos a disposición a través de un proyecto financiado por la Agencia Espacial Europea (ESA).

2.1 Temperaturas.

Las temperaturas estratosféricas sobre la Antártida han estado por debajo del umbral NEP tipo I de 194.6 K desde el 12 de mayo y por debajo del umbral de las NEP tipo II de 187.8 K desde el 5 de junio, ver **Figura 1**. Desde los meses de abril hasta Julio. Las temperaturas diarias mínimas en el nivel de 50 hPa han estado cercanas y oscilando alrededor del promedio correspondiente al período 1979 a 2018. También muy cercanas al 2018. La predicción muestra un posible enfriamiento de la estratosfera a inicios del mes de septiembre

En la **Figura 2** se muestran la temperatura media zonal, a nivel de 50 hPa y entre la región de 60° y 90°, ha estado oscilando alrededor de la media del periodo 1979 a 2018, desde el inicio del mes de abril, hasta finales de junio. Pero a inicios de agosto permanece por arriba de la media, aunque no significativamente.

Al mismo tiempo en la **Figura 3**, a nivel de 10 hPa, la Temperatura Media Zonal, ha estado oscilando alrededor de la media del periodo correspondiente de 1979 a 2018. A inicios de julio y hasta ahora, se encuentra por arriba de la media, coincidente con la Figura 2 y contrastando con el año 2018, que a estas fechas, se observaba enfriamientos por debajo de la media.

En ambos casos, las predicciones muestran un calentamiento de la estratosfera por arriba de la media e inclusive, temperaturas superiores al del 2018.

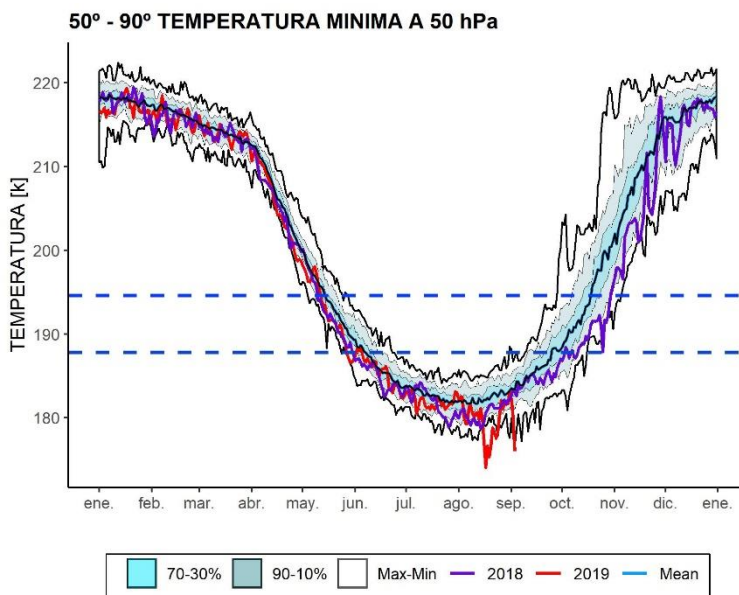


Figura 1. Temperatura mínima promedio a 50hPa, sobre la región de 50° a 90° S. La línea color roja, representa la evolución de la temperatura mínima para el año 2019, la línea morada representa al año 2018, la línea azul fuerte la media de 1979 a 2018. Las líneas externas negras, son los máximos y mínimos durante el periodo 1979 – 2018. Las líneas sombreadas en azul de adentro hacia afuera, son los percentiles de 70 – 30% y de 10 – 90%. Las líneas rectas punteada representan las nubes PSC NEP tipo I (arriba) y NEP tipo II (abajo).

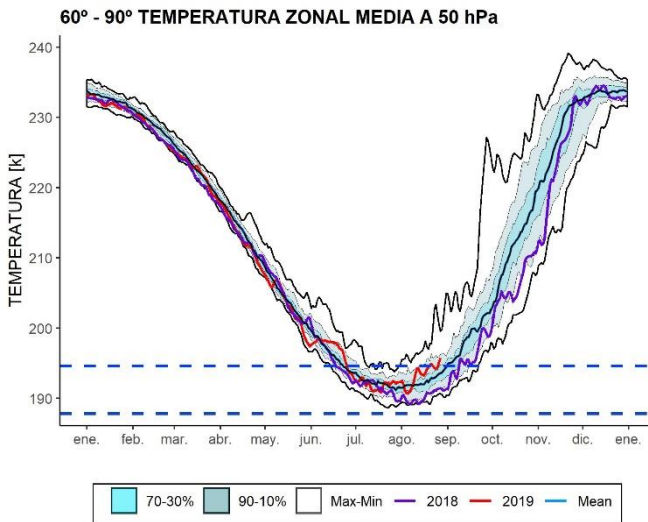


Figura 2. Temperatura zonal media a 50hPa, sobre la región de 60° a 90° S. La línea color roja, representa la evolución de la temperatura zonal media para el año 2019, la línea morada representa al año 2018, la línea azul fuerte la media de 1979 a 2018. Las líneas externas negras, son los máximos y mínimos durante el periodo 1979 – 2018. Las líneas sombreadas en azul de adentro hacia afuera, son los percentiles de 70 – 30% y de 10 – 90%. Las líneas rectas punteada representan las nubes PSC NEP tipo I (arriba) y NEP tipo II (abajo).

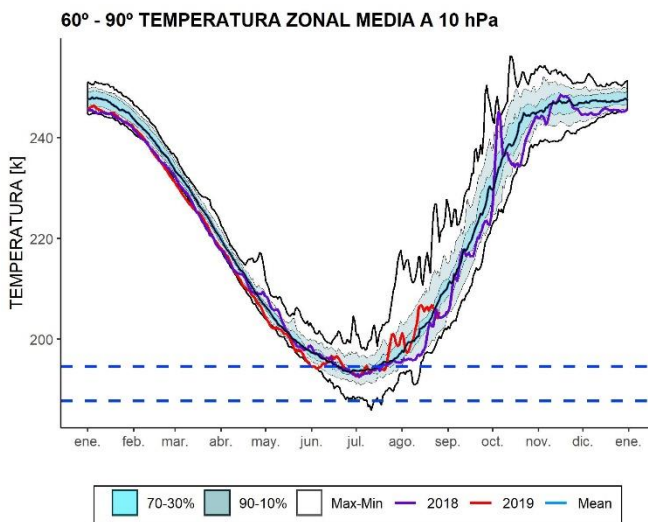


Figura 3. Temperatura zonal media a 10hPa, sobre la región de 60° a 90° S. La línea color roja, representa la evolución de la temperatura zonal media para el año 2019, la línea morada representa al año 2018, la línea azul fuerte la media de 1979 a 2018. Las líneas externas negras, son los máximos y mínimos durante el periodo 1979 – 2018. Las líneas sombreadas en azul de adentro hacia afuera, son los percentiles de 70 – 30% y de 10 – 90%. Las líneas rectas punteada representan las nubes PSC NEP tipo I (arriba) y NEP tipo II (abajo).

2.2 Área y Volumen del NEP

Desde la aparición de las NAT las primeras dos semanas de mayo hasta la última semana del mes de julio, la NAT se incrementa y oscila sobre el valor medio del periodo 1979 a 2018. Posteriormente, del 19 al 26 de julio se observa una caída vertiginosa y el día 27 de julio inicia su recuperación, respecto a la media del periodo 1979 a 2018. Después ha permanecido abajo del valor medio del promedio de 1979 a 2018.

A mediados de Agosto, el área NAT permanece inferior con respecto al valor medio. El 18 de julio el área NAT alcanzó el área máxima, hasta el momento, con 26.07 millones de km², lo cual es un poco inferior a los 28,2 millones de km² alcanzados en el 2015, que ha sido uno de los máximos históricos.

La destrucción repentina de los NAT, puede ser la razón por la cual el agujero de ozono, tiene una aparición temprana, tal como se describe más adelante.

En términos generales han permanecido muy cercanos a la media del valor histórico, pero han sido persistentes, pero no mayores al percentil 30 – 70%.

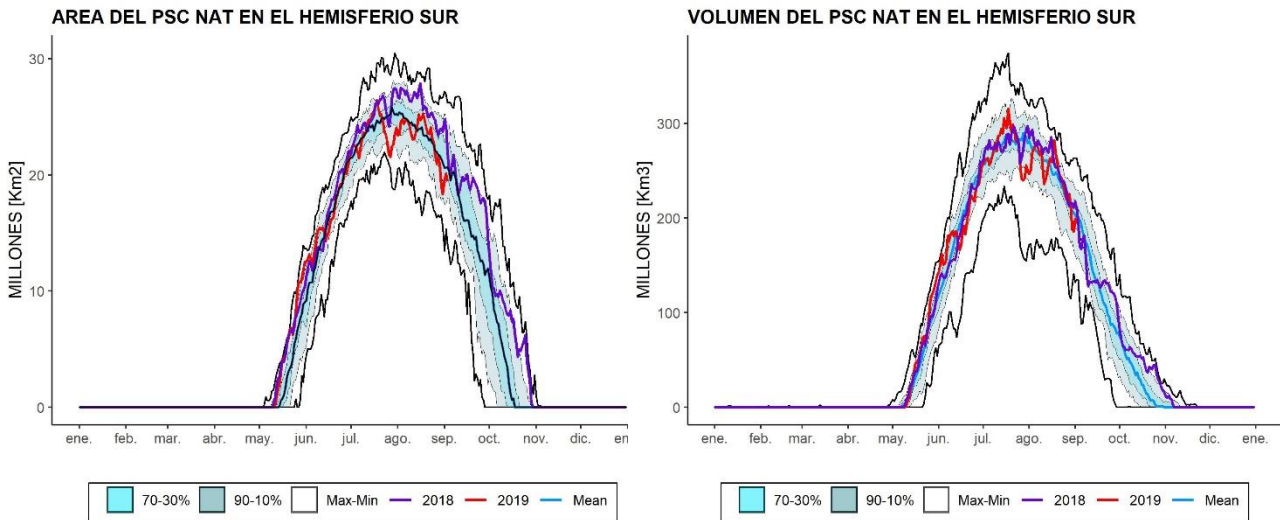


Figura 3 y 4. Serie de tiempo donde la temperatura están suficientemente bajas para para la formación de ácido nítrico trihidratado (NET tipo I) en el nivel isentrópico de 460 K. Área y volumen de las nubes estratosféricas polares (PSC NAT), sobre la región Antártica. La línea color roja, representa la evolución del tamaño y volumen de la PSC NEP para el año 2019, la línea morada representa al año 2018, la línea azul fuerte la media de 1979 a 2018. Las líneas externas negras, son los máximos y mínimos durante el periodo 1979 – 2018. Las líneas sombreadas en azul de adentro hacia afuera, son los percentiles de 70 – 30% y de 10 – 90%.

El volumen NAT se incrementa a partir de la primera parte del mes de mayo, y oscila alrededor de la media del periodo 1979 a 2018, hasta el mes de julio. El 18 de julio alcanza su valor máximo con 281.64 de Km³, después los valores han oscilado alrededor de la media (1979 - 2018).

El área o volumen con temperaturas lo suficientemente bajas para la existencia de NEPs, se encuentra directamente relacionado con la cantidad de la pérdida de ozono que tendrá lugar más tarde en la estación del año, pero el grado de la pérdida de ozono depende también de otros factores, como la cantidad de vapor de agua y HNO₃.

2.3 ESTABILIDAD DEL VÓRTICE

El flujo de calor promediado longitudinalmente entre los 45°S y los 75°S es una indicación de hasta qué grado está perturbada la estratósfera. En la **Figura 5** se muestra el desarrollo del flujo de calor. Lea el subtítulo para mayores detalles de cómo interpretar el gráfico

Durante los primeros meses del año, hasta principios de abril, el valor medio de 45 días del flujo de calor en 100 hPa ha sido mayor a la media del periodo 1997 -2018. Pero entre abril a junio la intensidad disminuye, aunque no demasiado. Después, a inicios de junio al presente, la actividad de ondas fue mayor que la media del periodo 1979 – 2018. Las predicciones muestran que la actividad de ondas que transportan calor, se incrementa y con ello la estratosfera.

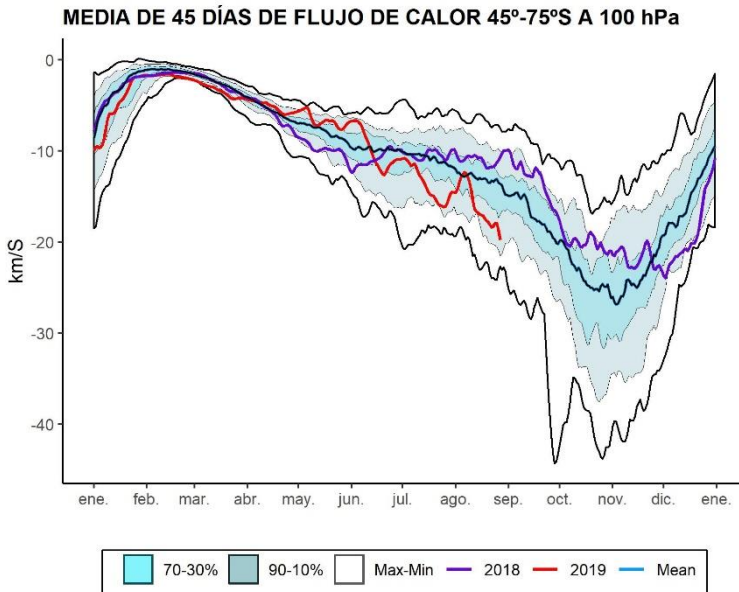


Figura 5. Serie de tiempo del flujo de calor meridional promediado sobre la región entre 45-75°S. La curva roja muestra los datos para 2019 (actualizado hasta el 20 de Agosto). Por favor note que un gran número negativo significa un gran flujo de calor. Los valores cercanos a cero significan un flujo de calor pequeño. La línea azul fuerte muestra la media de 1979 a 2018. Las líneas externas negras, son los máximos y mínimos durante el periodo 1979 – 2018. Las líneas sombreadas en azul de adentro hacia afuera, son los percentiles de 70 – 30% y de 10 – 90%, finalmente la línea morada representa al año 2018.

La **Figura 6** se muestra los mapas de vorticidad potencial (PV) en el nivel isentrópico de 485 K para la fecha del 28, 29 y 30 de agosto para los años 2015 al 2018 y 2019 (de arriba a abajo). Este nivel corresponde a aproximadamente 19 km de altura. Se incluye el año 2015 debido a que en ese años se presentó uno de los tres agujeros de ozono más grandes registrados.

Se puede ver que el vórtice polar en el 2019 era relativamente más deformado (irregular) y no es tan circular como en los años 2015 y 2018. Abarca toda la Antártida excepto la península y es menos concéntrico que los años 2015 y 2018. También, se observan valores de PV más negativos que los años 2019 y 2018, indicativo que los vórtices están fortaleciendo, mientras que en el año 2015, se encontraba más débil, situación que posteriormente se revirtió.

El vórtice fortalecido y la destrucción temprana de los NAT, podrían ser los responsables de la aparición temprana de valores bajos de ozono, inferiores a los 220 UD que científicamente se considera agujero de ozono.

3. OBSERVACIONES DE OZONO

3.1 Observaciones Satelitales

El sol empieza a retornar a la Antártida, ya que finaliza la noche polar e inicia la primavera austral. Tanto los datos satelitales, los datos de superficie y sondeos con globos muestran que el agujero de ozono, que ya inició la formación temprana del agujero de ozono, pero aún se encuentra en etapa de crecimiento y fortalecimiento. Lentamente se empiezan a mostrar en algunas de las observaciones.

La **Figura 7** muestra las columnas de ozono mínimas tal como han sido medidas por el instrumento GOME-2 a bordo del MetOp en comparación con su media histórica 1979 - 2018. Se aprecia que en los últimos días hay una tendencia a disminuir el ozono, es decir a la destrucción del mismo, que casi alcanza al mínimo histórico, muy probablemente debido a una estratosfera muy fría y la persistencia de las PSC NAT que son reservas que contienen sustancias destructoras de ozono.

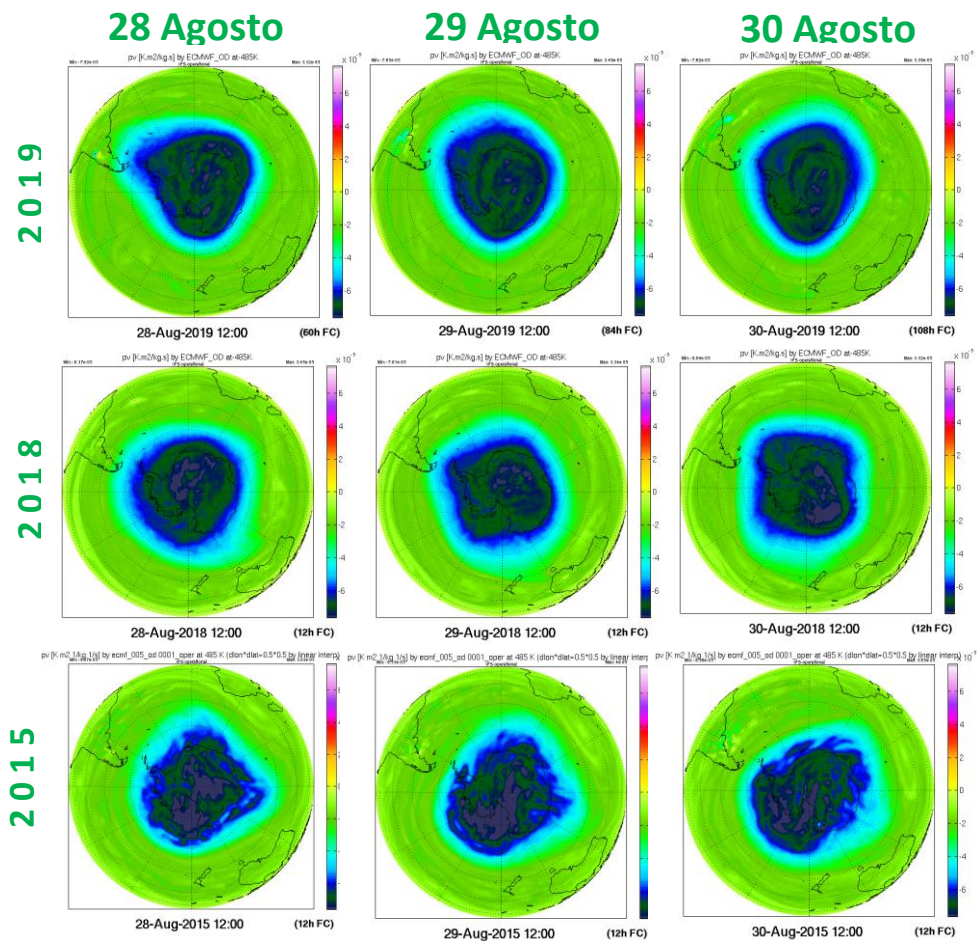


Figura 6. Mapas de Potencial de Vorticidad (PV) a una altura isentropica de 485 K. Para los días 28, 29 y 30 de agosto del 2015, 2018 y 2019 respectivamente.

La Figura 8 muestra los mapas de las columnas de ozono, tal como han sido medidas por el satélite OMI en comparación con datos del año 2018, incluidas las imágenes que presentan pérdida substancial de ozono. Durante la el día 20 agosto, tal es el caso de los años 2006 y 2015, donde se presentaron agujeros de ozono dentro de los 5 más grandes. Se observa ya una formación bien definida del agujero de ozono, que abarca la península y parte del continente Antártico, inclusive mayor a los años de comparación.

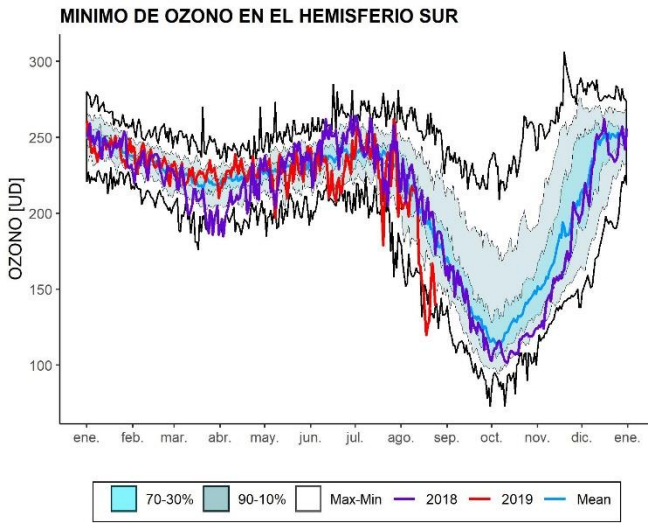
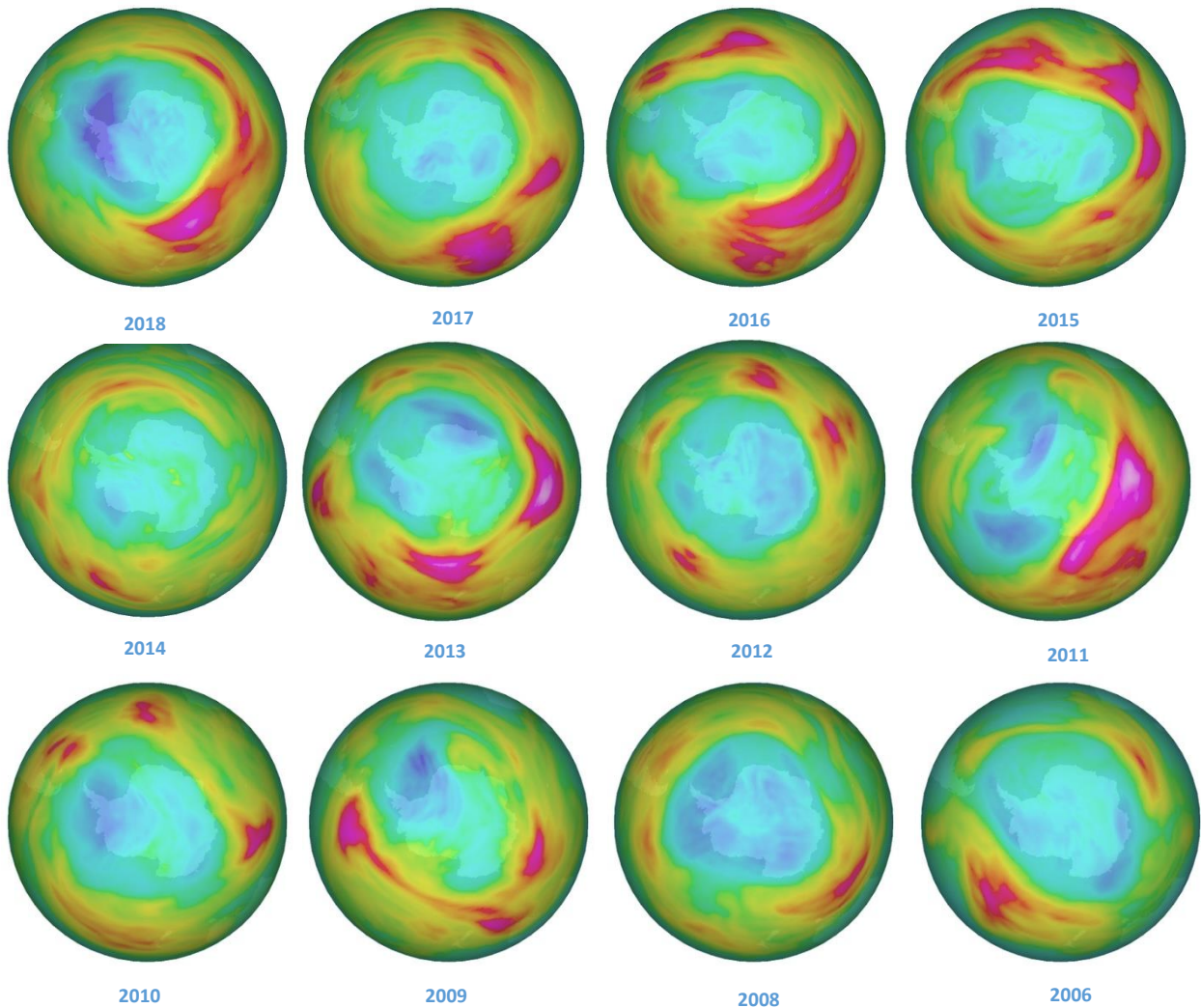


Figura 7. Mínimo diario de la columna total de ozono en el Hemisferio Sur observado por GOME-2, y en el pasado por SCIAMACHY. La línea roja muestra las observaciones de GOME-2 para el año 2019, la línea morada representa al año 2018. El pronóstico para los siguientes días muestra que el mínimo de ozono continuará decreciendo. La figura está adaptada desde un gráfico provisto por el Instituto Holandés de Meteorología (KNMI).

Figura 8. Mapas de columna total de ozono del 20 de agosto, para cada año (2008 al 2019) incluido el 2006. Los mapas son obtenidos del OMI.



3.2 Observaciones en superficie

Por ahora, solo se usan, mediciones en superficie obtenidos mediante el Espectrofotómetro Dobson y ozonosondeos de la Estación GAW Ushuaia ($54^{\circ} 50' 54.46'' S$, $68^{\circ} 18' 37.52'' O$) y la Estación Antártica Marambio ($61^{\circ} 14' 33.68'' S$, $56^{\circ} 37' 36.98'' O$) del Servicio Meteorológico Nacional (SMN).

3.2.1 Estación VAG-USHUAIA.

La Estación de Vigilancia Atmosférica global (VAG) de Ushuaia forma parte de la red de medición de parámetros físicos y químicos de la atmosfera de la Organización Meteorológica Mundial (OMM). La estación VAG de Ushuaia se localiza al borde del Vórtice Polar, de tal manera que en temporada de agujero de ozono, éste puede pasar por arriba de la ciudad de Ushuaia e incluso adentrarse hacia el norte de la Provincia de Tierra del Fuego.

El espectrofotómetro Dobson (D131) mide todos los días y en la **Figura 9**, se muestra la evolución de la columna total de ozono para el año en curso, comparado con su media histórica (1994-2018). Algunos días faltantes debido a que se realizó una campaña de calibración (Intercomparación).

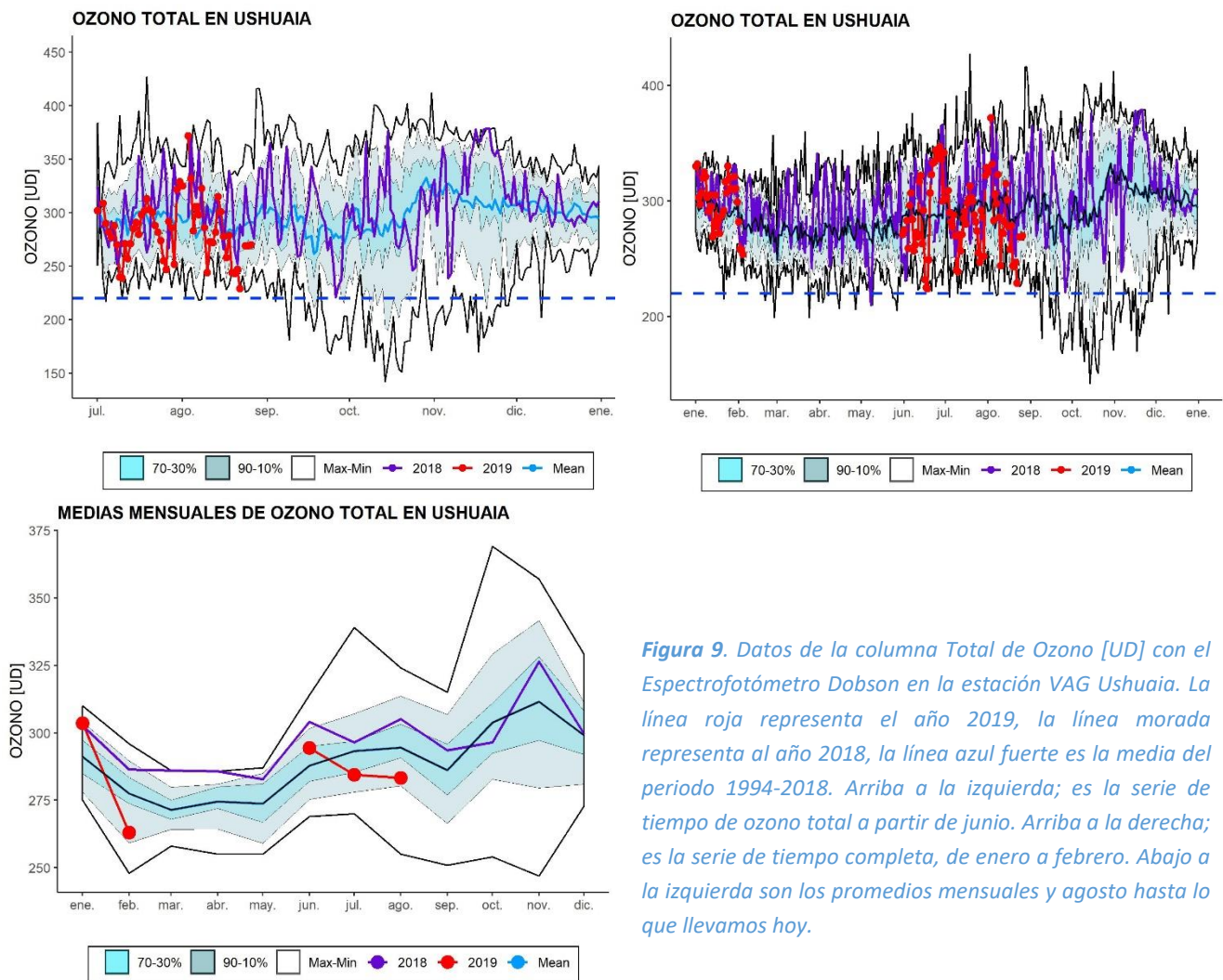


Figura 9. Datos de la columna Total de Ozono [UD] con el Espectrofotómetro Dobson en la estación VAG Ushuaia. La línea roja representa el año 2019, la línea morada representa al año 2018, la línea azul fuerte es la media del periodo 1994-2018. Arriba a la izquierda; es la serie de tiempo de ozono total a partir de junio. Arriba a la derecha; es la serie de tiempo completa, de enero a febrero. Abajo a la izquierda son los promedios mensuales y agosto hasta lo que llevamos hoy.

En la **Figura 9** se observa que los datos oscilan fuertemente alrededor del valor medio, debido a la alta variabilidad que hay en la zona, que es típico del paso de masas enriquecidas con ozono y que circundan al vórtice polar. En otras palabras, puede pasar masas de aire con mucho ozono o pasar masas de aire con muy poco ozono, produciendo dicha variabilidad.

En la **Figura 10** se muestra el perfil de ozono durante el ozonosondeo, se observa alguna pérdida de ozono entre los 15 y 19 Km de altura, aunque el perfil aún está bien definido y se mide ozono total de 272 UD entre la integración y el residual. Es importante mencionar que la temperatura en la estratosfera es fría. Por lo tanto se puede concluir que aún no pasa el agujero de ozono por la Patagonia sur.

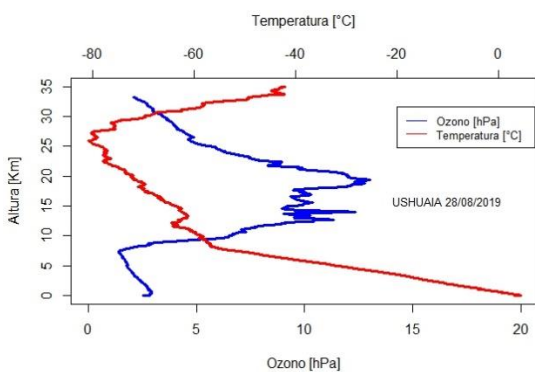


Figura 10. Ozonosondeo realizado en la Estación VAG de Ushuaia el día 28 de agosto 2019. El resultado es ozono residual 16.47 UD, Ozono Integral 255.94 UD, Ozono Total es de 272.41 UD.

3.2.1 Estación Antártica MARAMBIO.

La estación Antártica Marambio se encuentra en la península Antártica y forma parte de la red de medición de ozono total de programa VAG de la OMM. El ozono total se mide con espectrofotómetro Dobson, pero sus datos aún no están disponibles, hay un espectrofotómetro Brewer en convenio entre el instituto Antártico Argentino (IAA) y el Instituto Checo de Meteorología.

En convenio entre el SMN y el Instituto Finlandés de Meteorología (IFM) se mantiene el programa de ozonosondeos. Los sondeos se efectúan aproximadamente dos veces por semana durante el período de disminución del ozono, es decir, en temporada de agujero de ozono.

En la **Figura 11**, se muestran los perfiles de ozono para cuatro distintos días del año. El día 21/08/2019 ya se observa una disminución de ozono, con respecto a los días de mayo (286.95 UD) y junio (321.43 UD), un perfil más acotado y menos espeso, pero aún conserva la forma y conforme el agujero siga en crecimiento, se observara una deformación y pérdida del perfil en los ozonosondeos. La medición de ozono total es 210.28 UD (ozono residual = 18.54 UD + ozono integrado = 191.74). Para el día 28/08/2019 ya hay una pérdida más sustancial, el perfil muestra ya varios mordiscos. El valor medido de ozono total es de 200.31 UD. Se destaca que los dos últimos ozonosondeos ya están por debajo de los 210 UD, es decir que la estación Antártica Marambio, ya está por debajo del Agujero de ozono. Se nota también, el enfriamiento de la estratosfera.

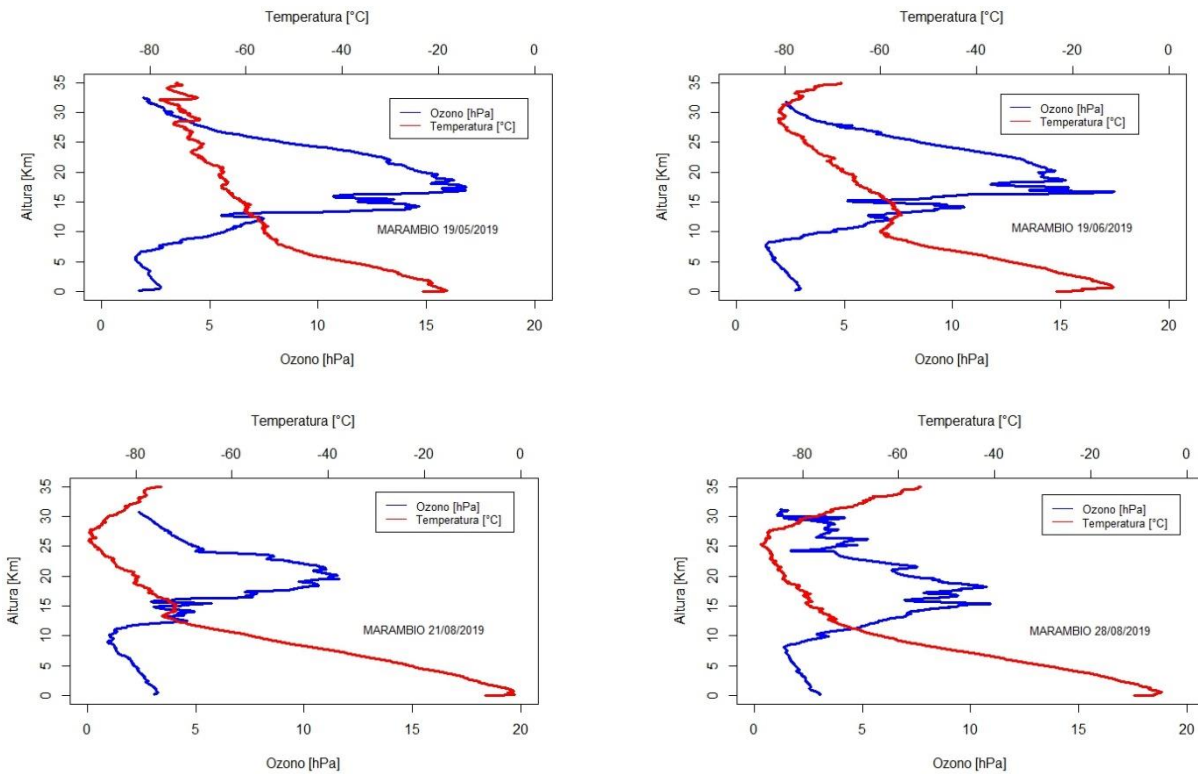


Figura 11. Se muestran los perfiles de cuatro días, los primeros dos, aún no presentan pérdida ozono, pero el último de la fila ya denota dicha pérdida.

4. ACTIVACIÓN QUÍMICA DEL VÓRTICE

4.1 Resultados del Modelo.

La Figura 11 muestra la progresión de las cuatro especies principales desde el 28 de mayo hasta el 28 de agosto en el nivel de 50 hPa. Los gráficos han sido realizados a partir de la salida del modelo BASCOE en el Instituto Belga para la Aeronomía Espacial (BIRA-IASB). Este último está a cargo del monitoreo y evaluación de los productos de composición estratosférica suministrados por los proyectos MACC europeos. En este contexto, el sistema de asimilación BASCOE ha sido dispuesto para suministrar en tiempo casi real, análisis y pronósticos del ozono y especies relacionadas con el mismo para la estratósfera. La versión usada en esta edición ha sido originalmente desarrollada dentro del marco del programa del pasado GSEPROMOTE de la Agencia Espacial Europea. El sistema de asimilación de datos BASCOE asimila el conjunto de datos offline (nivel-2. V3.3) obtenidos del instrumento Aura-MLS. A pesar de haber sido suministrado un pocos días más tarde que la corriente NRT, el conjunto de datos offline incluye varias especies: O3, H2O, HNO3, HCl, ClO, (ClO)2, HOCl y N2O. Ulterior información acerca de los proyectos MACC del modelo BASCOE con referencias se pueden encontrar en http://macc.aeronomie.be/4_NRT_products/3_Models_changelogs/BASCOE.php.

Se puede apreciar a partir de la figura como el ácido nítrico gaseoso (HNO₃) es removido gradualmente, comenzando en mayo cuando las temperaturas NEP se asentaron y continuando hasta junio y julio. La remoción del HNO₃ se encuentra

esencialmente completa el 28 de agosto. La remoción de HNO_3 gaseoso es una indicación de que este compuesto se condensa en la forma de nubes estratosféricas polares (ácido nítrico, trihidratado, $\text{HNO}_3 \cdot 3\text{H}_2\text{O}$).

Al mismo tiempo, el ácido clorhídrico es removido dado que reacciona con nitrato de cloro (ClONO_2) y forma cloro activo. Se puede apreciar como el ácido clorhídrico (fila segunda) está disminuyendo, puesto que es convertido en partículas NEP. La conversión extensa del HCl ya ha tenido lugar el 28 de julio y el 28 de agosto, todo el vórtice se encuentra esencialmente vacío de HCl.

Un buen indicador de la activación del vórtice, es la cantidad de óxido de cloro (ClO). Sin embargo, se debe observar que el ClO se dimeriza y forma $(\text{ClO})_2$. El dímero es fácilmente quebrado en la presencia de luz solar. El ClO estará presente, por lo tanto en las partes del vórtice iluminadas por el sol, mientras que las áreas oscuras serán llenadas con $(\text{ClO})_2$, el cual no es observado por el Aura-MLS, pero es calculado por el modelo BASCOE. Observando la suma del monómero y dímero ($\text{ClO} + 2\text{Cl}_2\text{O}_2$) se puede obtener una mejor impresión del grado de activación del cloro. Esto se muestra en la tercera fila de la figura. Los primeros signos de activación son ya visibles el desde el 28 de junio. El grado máximo de activación tiene lugar durante del mes de agosto.

En la última fila se muestra la razón de mezcla del ozono en el nivel de 50 hPa. Hasta julio no hay indicación de disminución del ozono pero el 28 de agosto se puede apreciar que alguna destrucción ha tenido lugar adentro del margen del vórtice.

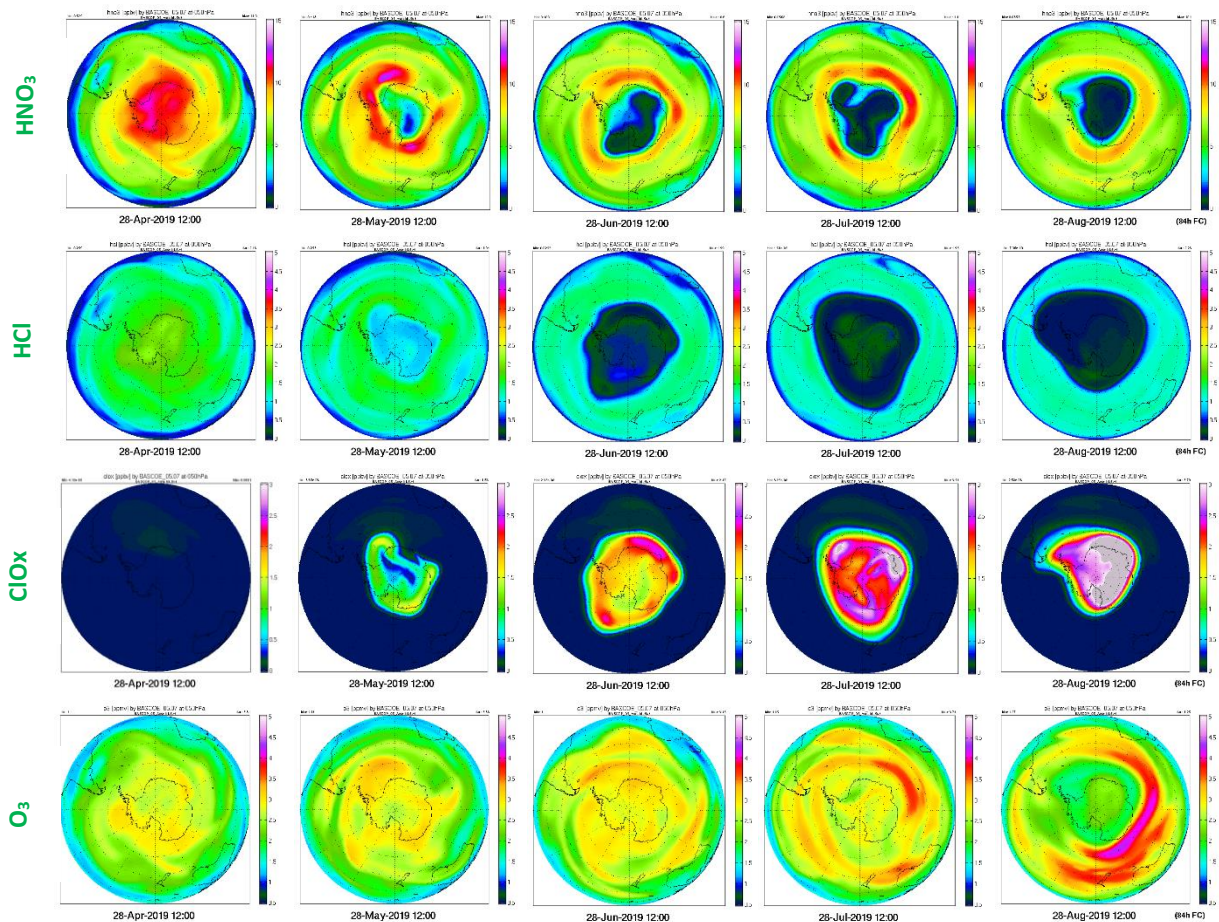


Figura 11. Resultados del modelo de asimilación BASCOE a 50 hPa. Este modelo se usa como parte del proyecto macc-II, ahora el NRT Análisis de ozono y especies relacionadas con el ozono (http://macc.aeronomie.be/4_NRT_products/5_Browse_plots/1_Snapshot_maps/index.php?src=BASCOE&spc=o3&l=at-050hPa). La primera fila (arriba) muestra la relación de mezcla del ácido nítrico (HNO_3). La segunda fila muestra la relación de mezcla para el ácido clorhídrico (HCl). La tercera fila, muestra la relación de mezcla para el óxido de cloro y su dímero ($\text{ClOx} = \text{ClO} + 2\text{Cl}_2\text{O}_2$). La última fila (abajo) muestra la relación de mezcla del ozono.

5. El Agujero de ozono

5.1 El área del agujero de ozono

En la **Figura 12a y 12b** se muestra el área de la región en la que el ozono total es menor a las 220 UD (Agujero de Ozono) tal como es deducida por el instrumento GOME-2 a bordo del Metop (y SCIAMACHY en el Envisat en el pasado). Un gráfico similar basado en datos del instrumento OMI se muestra en la **Figura 13**.

En la **Figura 12a y 12b** se muestra el inicio y crecimiento del agujero de ozono, muy similar al del año pasado, pero superior al de la media (1997 – 2018). Esto significa que el agujero tiene una aparición temprana, situación que se observa en el gráfico del déficit de ozono, iniciando la destrucción.

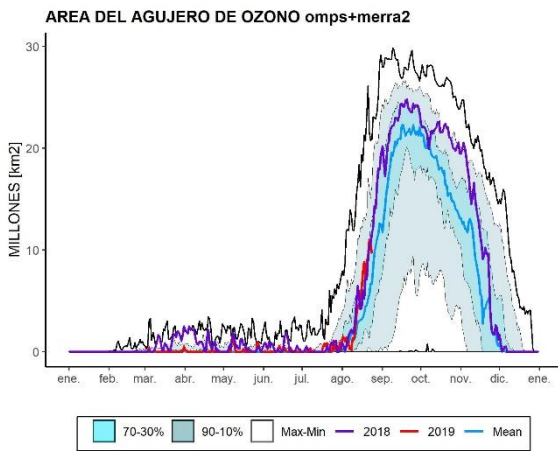


Figura 12a. Área (millones de km^2) donde la columna total de ozono es menos de 220 unidades Dobson. El año 2019 es mostrado en rojo (hasta el 29 de agosto). El año 2018 se muestra en morado. La línea azul fuerte es el promedio de 1979-2018. El área sombreada azul agua representa los percentiles 30 a 70 y el área sombreada en azul transparente representa los percentiles 10 a 90. El área de agujero de ozono el 22 de Agosto es 10.99 millón de km^2 . El gráfico está hecho en la SMN basado en datos descargados del sitio web de Vigilancia del ozono de la NASA, los cuales están basados en datos de NOAA/NCEP.

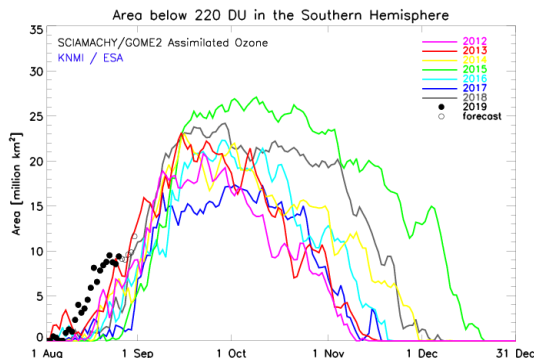


Figura 12b. El área de agujero de ozono para desde los años 1997 a 2018. El área de agujero de ozono es el área de la región donde el ozono total está por debajo de las 220 UD. Los datos son provistos por KNMI y están basados en los datos de los satélites GOME-2 y SCIAMACHY. Este gráfico es producido por la OMM.

5.2 Déficit de masa de ozono.

El déficit de la masa de ozono se define como la cantidad de ozono medida en megatonnes que debe ser agregada al agujero, de tal manera que el ozono total llegue a 220 UD en aquellas regiones en las que se encuentra por debajo de este umbral. La **Figura 13a y la Figura 13b** se muestra el déficit de la masa de ozono, tal como es deducido del GOME-2 Y OMI, respectivamente. El desarrollo de este parámetro está muy separado a la derecha a la curva de la media (1979-2018) lo que significa un déficit temprano que otros años.

Los datos del KNMI y de la NASA son muy parecidos y en ambos casos se muestra una tendencia a ir acercándose a los otros años, pero muy separado de la curva que representa la media (1979 - 2018)

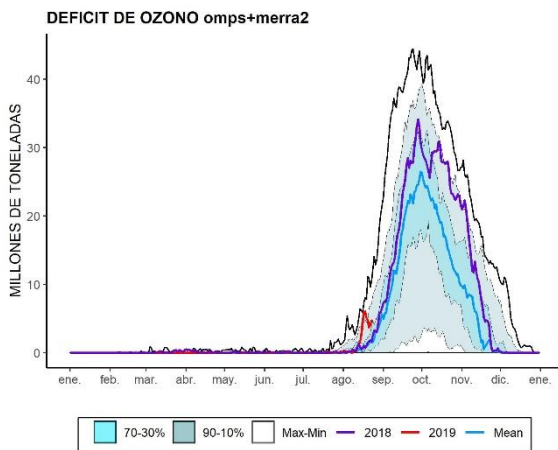


Figura 13a. Déficit de masa de ozono para 2019 (curva roja). La línea color morado, representa el año 2018. La línea azul fuerte es la media del periodo 1979-2018. Las líneas sombreadas en azul es el percentil de 30% y 70%, mientras que las líneas sombreadas con azul claro y transparente es el percentil de 10% y 90%. Finalmente, las líneas externas en negro son los máximos y mínimos históricos del periodo 1979 – 2018. Este gráfico es producido por el SMN basado en datos descargados del sitio web de Vigilancia del ozono de la NASA, los cuales están basados en datos

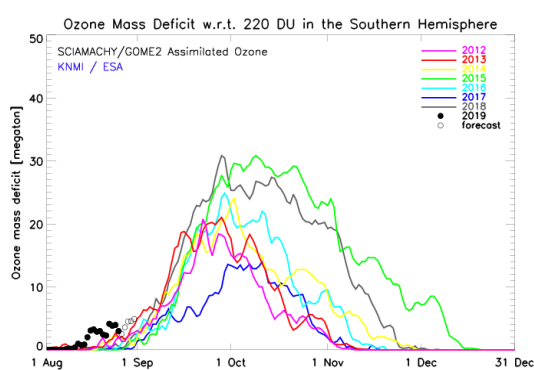


Figura 13b. Déficit de masa de ozono para 2019 (curva y puntos negros (pronóstico de 5 días)). Algunos otros años seleccionados con una baja sustancial de ozono se muestran para ser comparados.. Los círculos abiertos representan el pronóstico para los siguientes cinco días. La línea gris gruesa es la media de 1979-2018. Este gráfico es producido por la OMM y está basado en datos del sitio web del TEMIS del KNMI.

6. CONCLUSION

La actividad de destrucción y a la vez formación del agujero de ozono, ha iniciado tempranamente, debido a un vórtice fortalecido y una estratosfera fría, que favorece la formación de la PSC y con la primera luz del sol empiezan a liberar las especies cloradas para la destrucción de ozono. Aún es muy temprano para hacer una proyección precisa del desarrollo y evolución del agujero de ozono para el 2019.

Las proyecciones de la actividad de onda, muestran una actividad intensa, de tal manera que favorece el calentamiento de la estratosfera, situación que se muestra en las proyecciones de la temperatura en la estratosfera baja y consecuentemente, poca formación de PSC.

Las estaciones de medición aún no muestran una formación completa del agujero de ozono, pero con el paso del tiempo seguramente lo harán. Se monitorea continuamente el paso del agujero de ozono en la estación VAG de Ushuaia debido al interés de la población y el sector gubernamental, debido al impacto de la radiación UV en la ciudad.

Se espera en las próximas emisiones de este boletín, agregar más información de otras estaciones antárticas, especialmente de Latinoamérica.

El siguiente boletín se actualizará el aproximadamente el día 11 de septiembre 2019.

7. BIBLIOGRAFÍA

- Geir Braathen, "Boletín de Ozono Antártico", Editado por la WMO.
- Newman (NASA), E. Nash (SSAI), R. McPeters (NASA), S. Pawson (NASA) National Aeronautics and Space Administration - Goddard Space Flight Center - NASA Ozone Watch.
- Veefkind, J.P., J.F. de Haan, E.J. Brinksma, M. Kroon and P.F. Levelt, Total Ozone from the Ozone Monitoring Instrument (OMI) Using the DOAS technique, IEEE Trans. Geo. Rem. Sens., 2006, Vol. 44, No. 5, 1239-1244, doi:10.1109/TGRS.2006.871204.
- H. J. Eskes, R. J. van der A, E. J. Brinksma, J. P. Veefkind, J. F. de Haan, and P. J. M. Valks, Retrieval and validation of ozone columns derived from measurements of SCIAMACHY on Envisat, Atmos. Chem. Phys. Discuss, 5, 4429-4475, 2005.
- Valks, P.J.M., J.F. de Haan, J.P. Veefkind, R.F. van Oss and D.S. Balis, TOGOMI: An improved total ozone retrieval algorithm for GOME, XX Quadrennial Ozone Symposium, 1/6/2004-8/6/2004, C.S. Zerefos (Ed), 2004, Athens, University of Athens, 129-130.
- E. Botek, S. Chabrilat, Y. Christophe (BIRA-IASB) "Report on 2014 Antarctic ozone hole studies" MACC-III project (Monitoring Atmospheric Composition and Climate - III) 2014.
- Scientific Assessment of Ozone Depletion 2018 – Executive Summary – WMO UNO environment, NOAA, NASA, European Commission.
- Manuel Gil Ojeda "El ozono estratosférico" Tethys, 3, 47–58, 2006. DOI:10.3369/tethys.2006.3.06